# 参芪复方对2型糖尿病大鼠骨骼肌细胞凋亡的作用

任雪交1, 吴贤波2, 丁若兰3, 朱海燕4\*, 唐宋琪5\*

(1. 成都中医药大学,四川 成都 610037; 2. 成都体育学院,四川 成都 610041; 3. 成都中医药大学附属 医院,四川 成都 610072; 4. 成都医学院临床医学院第一附属医院,四川 成都 610500; 5. 海南医学院,海南 海口 571199)

摘要:目的 研究参芪复方对 2 型糖尿病大鼠骨骼肌细胞凋亡的调节作用及其对 Bcl-2 家族蛋白表达的影响。方法 30 只雄性自发性 2 型糖尿病 GK 大鼠,给予高脂饲料喂养,连续 3 d 检测随机血糖  $\geq$  11.1 mmol/L 即确认造模成功。 造模成功后,将 2 型糖尿病大鼠模型随机分为模型对照组、参芪复方组、罗格列酮组,每组 10 只,另取 10 只雄性 Wistar 大鼠作为正常对照组,普通饲料喂养。参芪复方组灌胃给予参芪复方浸膏(14.33 g/kg),罗格列酮组灌胃给予罗格列酮混悬液(0.67 mg/kg),模型对照组和正常对照组均给予等体积生理盐水灌胃,每天 1 次,连续给药 8 周。采用 TUNEL 法荧光染色观察骨骼肌细胞凋亡情况,RT-qPCR、Western blot 检测骨骼肌组织中 Bad、Bak、Bax、Bcl-2、Bcl-xL mRNA 和蛋白表达。结果 参芪复方可降低模型大鼠骨骼肌细胞凋亡率(P<0.05),下调 Bak mRNA 表达与Bad、Bax 蛋白表达(P<0.05,P<0.01),并上调 Bcl-2 mRNA 和蛋白表达(P<0.05,P<0.01)。结论 参芪复方可通过抑制 2 型糖尿病大鼠骨骼肌细胞凋亡,从而改善糖尿病骨骼肌病变,其机制与调控 Bak、Bad、Bax、Bcl-2 的表达密切相关。

关键词:参芪复方;糖尿病大鼠;骨骼肌细胞;细胞凋亡;Bcl-2家族

中图分类号: R285.5 文献标志码: B 文章编号: 1001-1528(2022)02-0560-04

doi:10. 3969/j.issn.1001-1528. 2022. 02. 042

糖尿病骨骼肌病变由糖尿病状态下高血糖持续对骨骼 肌及相应血管神经的损害而引发,是 2 型糖尿病(T2DM)的常见并发症之一,临床主要表现为肌无力,肌肉萎缩等<sup>[1-2]</sup>。参芪复方由人参、黄芪、山药、山茱萸、生地、天花粉、丹参、制大黄组成,具有益气健脾、清热生津、活血化瘀的功效,临床观察该方可明显改善糖尿病患者的肌肉萎软无力、疼痛、萎缩等症状。前期实验研究表明<sup>[3]</sup>,参芪复方可改善 2 型糖尿病大血管病变模型小鼠的糖脂代谢和血管损害,减轻模型动物的骨骼肌细胞萎缩、水肿、断裂和炎症状况,对糖尿病小鼠的骨骼肌具有保护作用。但其作用机制尚不明确。

许多研究表明,肌纤维细胞凋亡在肌肉萎缩中起重要作用<sup>[4-6]</sup>,且以线粒体功能障碍而激发的细胞凋亡为主要贡献者<sup>[7-10]</sup>,而 Bel-2 家族是介导线粒体损伤引起细胞凋亡的重要成员。因此,本研究拟从骨骼肌线粒体相关凋亡蛋白切入,进一步探究参芪复方对糖尿病骨骼肌细胞凋亡的影响及作用机制。

### 1 材料

- 1.1 动物及饲料 30 只自发性 2 型糖尿病 GK 大鼠, SPF 级, 雄性, 8 周龄, 体质量 (210±10) g; 10 只 Wistar 大鼠, SPF 级, 雄性, 8 周龄, 体质量 (210±10) g, 均购自常州卡文斯实验动物有限公司, 动物生产许可证号 SCXK (苏) 2016-0010。普通饲料和高脂饲料 (基础饲料 55%, 脂肪 10%, 胆固醇 10%, 糖 20%, 奶粉 5%, 另加少量微量元素)均由恩施维尔公司提供。
- 1.2 药物 参芪复方水煎液由成都中医药大学附属医院药剂科提供(批号20190420),所用药材均由成都中医药大学黄巍教授鉴定为正品。罗格列酮(批号190304,成都恒瑞制药有限公司)。
- 1.3 试剂 蛋白酶和磷酸酶抑制剂混合物 (货号 P1050)、BCA 蛋白浓度测定试剂盒 (货号 P0010)、RIPA 裂解液 (货号 P0013B)、PMSF (货号 ST506) 均购于上海碧云天生物技术有限公司; Bak 抗体 (货号 12105, 美国 Cell Signaling Technology 公司); Bad 抗体 (货号 ab32445)、Bax

收稿日期: 2021-03-22

**基金项目**: 国家自然科学基金资助项目 (81660788); 国家中医药管理局应用基础项目 (yyjc20200907); 四川省中医药管理局科学技术研究专项 (2018QN051); 成都医学院第一附属医院高层次人才科研启动基金 (NCYFY-GQ02)

作者简介:任雪交 (1996—),女 (苗族),硕士生,从事中药药理研究。Tel: 17723543114, E-mail: carrie@stu.cdutcm.edu.cn

\* **通信作者**:朱海燕 (1979—),女,博士,副教授,从事中医药防治内分泌代谢病的基础与临床研究。Tel: 15528081146, E-mail: zhuhaiyan19791@126.com

唐宋琪(1981—), 男, 博士, 教授, 从事中医药防治变态反应性疾病的临床与实验研究。E-mail: tangsongqi@ hainmc. edu.cn

抗体(货号 ab32503)、Bcl-2 抗体(货号 ab196495)、BclxL 抗体 (货号 ab178844)、Prism Ultra Protein Ladder (货 号 ab116028)、Goat anti-Rabbit IgG (H+L) Secondary Antibody HRP (货号 ab205118)、Anti-COX IV antibody (HRP)(货号 ab209958) 均购于英国 Abcam 公司; 大鼠 ACTB 内参引物 (货号 B661202)、大鼠 RPS18 内参引物 (货号 B661201) 均购于生工生物工程上海 (股份) 有限 公司; RT Easy II (货号 RT-01023)、Animal Total RNA Isolation Kit (货号 RE-03011) 均购于成都福际生物技术有 限公司: SsoAdvanced Universal SYBRGreen Supermix (货号 1725271)、Clarity Western ECL Substrate (货号 170-5060) 均购于美国 Bio-Rad 公司。

1.4 仪器 TSJ-Ⅱ型全自动封闭式组织脱水机、BMJ-Ⅲ型 包埋机、PHY-Ⅲ型病理组织漂烘仪均购于常州中威电子仪 器有限公司;转轮式切片机 (德国徕卡公司); DeadEnd TM 荧光测定 TUNEL 系统「普洛麦格(北京) 生物技术有 限公司]; 血糖仪 (美国 Abbott Diabetes Care 公司); 电泳 仪、荧光定量 PCR (美国 Bio-Rad 公司); 酶标仪 (美国 ThermoFisher 公司);超微量核酸分析仪(德国 IMPLEN 公 司);基因扩增仪(杭州朗基科学仪器有限公司);全自动 化学发光凝胶成像系统(北京赛智创业科技有限公司)。

#### 2 方法

- 2.1 药液制备 参芪复方水煎液制备工艺, 称取人参 15 g、黄芪 15 g、山药 10 g、山茱萸 10 g、生地 10 g、天花 粉10g、丹参10g、酒制大黄6g,加入10倍量水,浸泡 30 min, 煎煮 30 min, 滤过, 收集滤液; 再加入 8 倍量水, 煎煮 30 min, 滤过, 合并 2 次滤液, 减压浓缩至含生药量 2 g/mL。参芪复方受试药液配制, 取参芪复方水煎液 30 mL, 加生理盐水 10 mL, 配制成 1.5 g/mL 混悬液备用。 罗格列酮混悬液配制,取罗格列酮1粒,碾碎后加入生理 盐水 57.1 mL, 配制成 0.07 mg/mL 混悬液备用。
- 2.2 造模方法 将2型糖尿病模型大鼠适应性饲养1周 后,换以高脂饲料喂养,每周监测随机血糖,连续3d检 测随机血糖≥11.1 mmol/L 视为造模成功。造模 37 d,给 药期间同时给予高脂饲料喂养。
- 2.3 分组及干预 课题组前期实验研究发现,参芪复方临 床等效剂量的10倍剂量对2型糖尿病动物模型的血糖、血 脂代谢紊乱和骨骼肌病变的改善作用最佳[1],因此本实验 选择了10倍剂量的参芪复方作为中药组。造模成功后,将 2型糖尿病大鼠模型随机分为3组,即模型对照组、参芪 复方组、罗格列酮组、每组 10 只、另取 10 只 Wistar 大鼠 为正常对照组。参芪复方组灌胃给予 14.33 g/kg 参芪复方 混悬液, 罗格列酮组灌胃给予 0.67 mg/kg 罗格列酮混悬 液,正常对照组、模型对照组均灌胃等体积生理盐水。每 天1次,连续给药8周,8周后处死大鼠。
- 2.4 标本采集 实验结束后,标本采集处死前 12 h 禁食 不禁水,以2%戊巴比妥(45 mg/kg)麻醉后置于冰盘上, 迅速剥离腓肠肌, 并切成 1 cm×1 cm×0.5 cm 的小块以 10%

的多聚甲醛固定,剩余腓肠肌组织分装至 EP 管并标记后 投入液氮中,于-80℃冰箱保存待测。

- 2.5 骨骼肌细胞凋亡率检测 将10%多聚甲醛固定的腓肠 肌组织制成石蜡切片,切片常规脱蜡至水,以水浸泡5~ 10 min, 浸入 PBS 漂洗 2 次, 每次 5 min; 制备 TUNEL 反 应混合液, 孵育 8~10 min, 避光将切片浸入 PBS 漂洗 3 次,每次5 min,甘油封片,荧光显微镜检测,每张切片随 机选取3个视野,进行凋亡细胞分析。
- 2.6 RT-qPCR 检测骨骼肌组织中目的基因表达 用液氮 将大鼠腓肠肌组织研磨成粉末状, 按 Animal Total RNA Isolation Kit 说明书提取 RNA, 微量核酸分析仪检测 RNA 质量浓度和纯度,将样本 RNA 质量浓度调整为 84 ng/μL, RT Easy II 试剂盒将 mRNA 样本逆转录为 cDNA (2×RT OR-EasyTM Mix 溶液 10 μL, 样本 10 μL; 42 ℃ 15 min 逆转录, 85 ℃ 5 min 失活), SsoAdvanced Universal SYBR Green Supermix 试剂盒检测目标 mRNA 相对表达量,以 ACTB 和 RPS18作为归一化内参基因。PCR 反应体系 (20 μL) 为 2×SYBR Green mixture 10 μL, 正反向引物各 0.8 μL, cDNA 1 μL, RNase Free water 7.4 μL; 进行 40 个 PCR 循环, 循 环后进行熔解曲线实验, 观察扩增产物有无非特异性扩增 及扩增片段长度。PCR 引物序列见表 1。

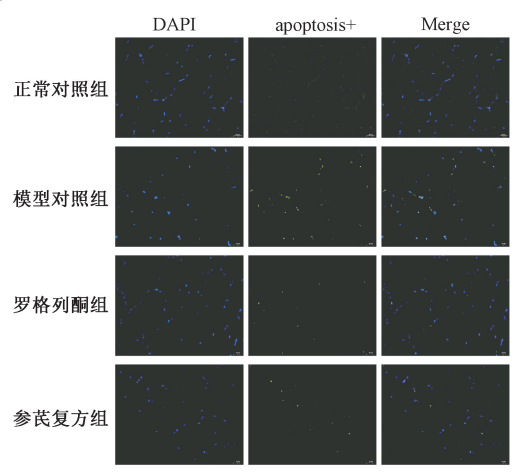
表 1 基因引物序列

基因名称	引物碱基序列 5′→3′	产物长度/bp
Bcl-2	正向 ACGGTGGTGGAGGAACTCTTCAG	168
	反向 GGTGTGCAGATGCCGGTTCAG	
Bcl- $xL$	正向 GGTCGCATTGTGGCCTTCTTCTC	151
	反向 AGCCGCCGTTCTCCTGGATC	
Bax	正向 CCAGGACGCATCCACCAAGAAG	138
	反向 GCTGCCACACGGAAGAAGACC	
Bak	正向 AATTCACTGATAGCAGTTCCTGCC	129
	反向 TGTCACCTGCCTGACTGCTC	
Bad	正向 CGTACAGCGTTGAGTTCCTTCCG	172
	反向 CCAGGACTCGCAACTTAGCACAG	

- 2.7 Western blot 检测骨骼肌组织中目的蛋白表达 100 mg大鼠腓肠肌组织,加入含蛋白酶和磷酸化酶抑制剂 的 RIPA 混合裂解液, 冰上匀浆, 4 ℃ 裂解 1 h 后离心 (12 000 r/min, 5 min), 收集上清液, BCA 法检测总蛋白 浓度, 每孔以 20 µg 蛋白上样, 100 V 电泳, 100 V 湿转, 5% 脱脂牛奶封闭 2 h, 加入相应一抗, 4 ℃孵育 16 h, 二抗 室温孵育2h, ECL 试剂盒显影, 化学发光成像系统曝光拍 摄,凝胶分析系统分析条带净光密度值。
- 2.8 统计学分析 通过 GraphPad Prism 8.3 软件进行处理, 计量资料以(x±s)表示,多组间比较采用单因素方差 (one-way ANOVA) 分析,组间两两比较采用 Tukey 检验, 方差不齐采用 Dunnett T3 检验。P<0.05 为差异具有统计学 意义。

#### 3 结果

3.1 参芪复方对大鼠骨骼肌细胞凋亡的影响 与正常对照组 比较,模型对照组大鼠骨骼肌细胞凋亡率升高 (P<0.01); 与模型对照组比较,罗格列酮组与参芪复方组大鼠骨骼肌细胞凋亡率降低 (P<0.05); 罗格列酮组与参芪复方组比较大鼠骨骼肌细胞凋亡率无明显变化 (P>0.05), 见图 1、表 2。



注:绿色荧光标示凋亡细胞,蓝色荧光标示细胞核。

图 1 各组大鼠骨骼肌细胞凋亡情况 (TUNEL 荧光染色, ×400)

表 2 各组大鼠骨骼肌细胞凋亡率  $(\bar{x}\pm s, n=6)$ 

组别	平均凋亡率/%
正常对照组	2. 23±2. 74
模型对照组	12. 58±3. 91 **
罗格列酮组	6. 96 $\pm$ 2. 64 * $^{\triangle}$
参芪复方组	7. $08\pm1.$ 90 * $^{\triangle}$

注:与正常对照组比较,\*P<0.05,\*\*P<0.01;与模型对照组比较, $^{\triangle}P<0.05$ 。

3.2 参芪复方对大鼠骨骼肌组织 Bad、Bak、Bax、Bcl-2、Bcl-xL mRNA 表达的影响 与正常对照组比较,模型对照组大鼠骨骼肌组织 Bad mRNA 表达升高 (P<0.05),Bcl-xL mRNA 表达降低 (P<0.05);与模型对照组比较,罗格列酮组大鼠骨骼肌组织 Bad mRNA 表达降低 (P<0.05),参芪复方组大鼠骨骼肌组织 Bak mRNA 表达降低 (P<0.05)、移居包-2 mRNA 表达升高 (P<0.05),见表 3。

3.3 参芪复方对大鼠骨骼肌组织 Bad、Bak、Bax、Bcl-2、Bcl-xL蛋白表达的影响 与正常对照组比较,模型对照组大鼠骨骼肌组织 Bad、Bax 蛋白表达升高 (*P*<0.05, *P*<0.01), Bcl-2、Bcl-xL蛋白表达降低 (*P*<0.05, *P*<0.01); 与模型对照组比较,罗格列酮组大鼠骨骼肌组织 Bad、Bax

表 3 各组大鼠骨骼肌组织 Bad、Bak、Bax、Bcl-2、Bcl-xL mRNA 表达 ( $\overline{x}\pm s$ , n=10)

组别	Bad	Bak	Bax	Bcl-2	Bcl-xL
正常对照组	1.09±0.11	1.05±0.06	1. 10±0. 13	0.96±0.04	1.00±0.04
模型对照组	1. 48±0. 22 *	1. 07±0. 18	1. 16±0. 17	0.88±0.15	0.74±0.05*
罗格列酮组	1. $10\pm0.06^{\triangle}$	0. 93±0. 14	1.03±0.08	1.06±0.13	0. 92±0. 12
参芪复方组	1. 23±0. 03	$0.69\pm0.00^{\Delta*}$	0.89±0.00	1. $20\pm0$ . $05^{\triangle}$	$0.81 \pm 0.08$

注:与正常对照组比较,\*P<0.05;与模型对照组比较, $^{\triangle}P<0.05$ 。蛋白表达降低 (P<0.05, P<0.01), Bel-2 蛋白表达升高 (P<0.01),参芪复方组大鼠骨骼肌组织 Bad、Bax 蛋白表

达均降低 (P<0.05, P<0.01)、Bcl-2 蛋白表达升高 (P<0.01)、见图 2、表 4。

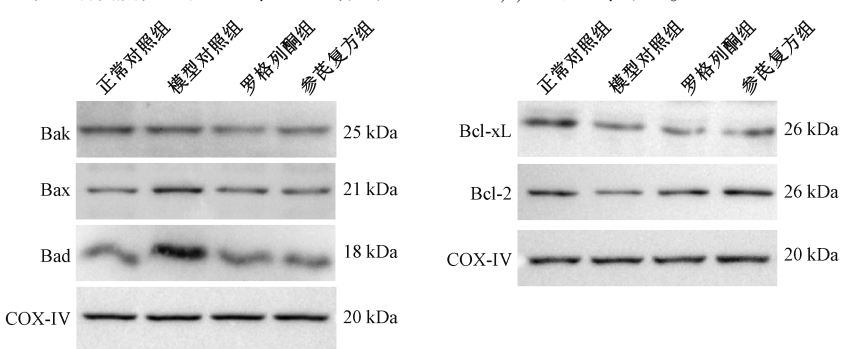


图 2 各组大鼠骨骼肌组织 Bad、Bak、Bax、Bcl-2、Bcl-xL 蛋白条带图

表 4 各组大鼠骨骼肌组织 Bad、Bak、Bax、Bcl-2、Bcl-xL 蛋白表达 ( $\bar{x} \pm s$ , n = 10)

组别	Bad	Bak	Bax	Bcl-2	Bel-xL
正常对照组	0.98±0.10	1. 10±0. 10	1. 08±0. 12	1. 06±0. 06	1. 20±0. 18
模型对照组	1.55±0.12**	0.99±0.17	1.46±0.18*	0.68±0.06**	0.80±0.11*
罗格列酮组	1. 09±0. 11 <sup>△ △</sup>	0.76±0.12*	1. $07\pm0$ . $10^{\triangle}$	0. 84±0. 04 ** $^{\triangle}$	0.67±0.08**
参芪复方组	0. 93±0. 13 <sup>△△</sup>	0.81±0.04	1. 07 $\pm$ 0. 11 $^{\triangle}$	0. 94±0. 03 * △ △	0.77±0.05 **

注:与正常对照组比较,\*P<0.05,\*\*P<0.01;与模型对照组比较, $^{\triangle}P<0.05$ , $^{\triangle\triangle}P<0.01$ 。

## 4 讨论

骨骼肌是全身葡萄糖吸收的重要组织之一,也是胰岛 素作用的主要靶组织之一,对维持机体葡萄糖动态平衡具 有关键性作用。长期处于高血糖环境下的骨骼肌易受损害, 其中以氧化型肌纤维受损最为突出,在光镜下主要表现为 肌纤维萎缩<sup>[11]</sup>。研究发现,其发病机制可能与线粒体损伤 引起的细胞凋亡有关。Kelley 等[12]在 2 型糖尿病患者的肌 肉中观察到线粒体破裂。蒙碧辉等[13]发现,树鼩糖尿病模 型的肌组织中存在明显的线粒体损伤和细胞凋亡前状态, 提示细胞凋亡可能与糖尿病骨骼肌病变相关。本实验骨骼 肌组织 TUNEL 荧光染色显示,模型对照组大鼠骨骼肌细胞 凋亡率高于正常对照组,这进一步说明骨骼肌细胞凋亡可 能参与糖尿病骨骼肌病变的发生;参芪复方组与罗格列酮 组大鼠骨骼肌细胞凋亡率低于模型对照组,提示参芪复方 可改善2型糖尿病大鼠模型的骨骼肌细胞凋亡现象。

Bad、Bak、Bax、Bcl-2、Bcl-xL 蛋白共属于 B 细胞淋巴 瘤 (Bel) -2 家族, 其中 Bel-2、Bel-xL 属于抗凋亡成员, Bad、Bak、Bax 属于促凋亡成员。Bcl-2 家族在调节细胞凋 亡信号上起重要作用,可结合相关蛋白调节线粒体的稳态, 参与线粒体外膜孔道的形成,与线粒体外膜通透性有 关[14]。细胞色素 C (Cyt C) 是一种细胞色素氧化酶, 位于 线粒体内膜外侧,是线粒体呼吸链的重要组成部分,也是 一种重要的细胞凋亡调控因子[15]。Bel-2 家族中 Bel-2、 Bcl-xL 等抗凋亡成员可抑制线粒体释放 Cyt C, Bak、Bad、 Bax 等促凋亡成员则促进线粒体释放 Cyt C。在细胞内凋亡 刺激因子作用下,促凋亡蛋白 Bak、Bax 等在线粒体外膜上 形成线粒体内部通向胞质的孔道, 使得 Cyt C 得以通过线 粒体外膜进入细胞质, 并在 ATP 的作用下与凋亡酶激活因 子 (Apaf-1)、半胱氨酸天冬氨酸蛋白酶-9 (caspase-9) 组 成凋亡小体, 引起下游与细胞生命相关蛋白的降解, 最终 引起细胞凋亡[16-17]。

本实验研究发现,与正常对照组比较,模型对照组大 鼠骨骼肌组织 Bad mRNA 表达升高、Bcl-xL mRNA 表达降 低, 而 Bad、Bax、Bcl-2、Bcl-xL 的蛋白表达均有明显的改 变,证实 Bcl-2 家族参与了 2 型糖尿病大鼠模型的骨骼肌细 胞凋亡过程;与模型对照组比较,参芪复方组大鼠骨骼肌 Bak mRNA 表达与 Bad、Bax 蛋白表达均降低, Bcl-2 mRNA 及蛋白表达均升高。提示参芪复方可影响2型糖尿病大鼠 模型骨骼肌细胞 Bcl-2 家族中促凋亡成员 Bak、Bad、Bax 以 及抗凋亡成员 Bel-2 的表达。

综上所述,参芪复方可通过调控 Bak、Bad、Bax、Bel-2的表达,减少2型糖尿病大鼠模型骨骼肌细胞凋亡,从 而发挥改善糖尿病骨骼肌病变的作用。

#### 参考文献:

- [ 1 ] 马春明,张 宏.糖尿病骨骼肌病变发病机制[J].辽宁实 用糖尿病杂志, 2004, 12(4): 51-53.
- [2] Mesinovic J, Zengin A, De Courten B, et al. Sarcopenia and type 2 diabetes mellitus: a bidirectional relationship [ J ].

- Diabetes Metab Syndr Obes, 2019, 12: 1057-1072.
- [3] 朱海燕,高 泓,郭保根,等.参芪复方对2型糖尿病大 血管病变小鼠糖脂代谢及骨骼肌病变的影响[J]. 中国实 验方剂学杂志, 2015, 21(4): 124-128.
- [4] Dupont-Versteegden E E. Apoptosis in skeletal muscle and its relevance to atrophy [J]. World J Gastroenterol, 2006, 12 (46): 7463-7466.
- [ 5 ] Whitman S A, Wacker M J, Richmond S R, et al. Contributions of the ubiquitin-proteasome pathway and apoptosis to human skeletal muscle wasting with age [J]. Pflugers Arch, 2005, 450(6): 437-446.
- [6] Siu P M, Pistilli E E, Alway S E. Apoptotic responses to hindlimb suspension in gastrocnemius muscles from young adult and aged rats [J]. Am J Physiol Regul Integr Comp Physiol, 2005, 289(4): R1015-R1026.
- Cheema N, Herbst A, McKenzie D, et al. Apoptosis and 7 necrosis mediate skeletal muscle fiber loss in age-induced mitochondrial enzymatic abnormalities [J]. Aging Cell, 2015, 14(6): 1085-1093.
- [8] Ji L L, Yeo D. Mitochondrial dysregulation and muscle disuse atrophy[J]. F1000Res, 2019, 8: 1621.
- [9] Ji L L, Yeo D, Kang C. Muscle disuse atrophy caused by discord of intracellular signaling [J]. Antioxid Redox Signal, 2020, 33(11): 1-44.
- [10] Powers S K, Wiggs M P, Duarte J A, et al. Mitochondrial signaling contributes to disuse muscle atrophy [J]. Am J Physiol Endocrinol Metab, 2012, 303(1): E31-E39.
- 蒙碧辉. 糖尿病骨骼肌病变[J]. 国外医学 (内分泌学分册), [11] 2002, 22(5): 336-338.
- [12] Kelley D E, He J, Menshikova E V, et al. Dysfunction of mitochondria in human skeletal muscle in type 2 diabetes [J]. Diabetes, 2002, 51(10): 2944-2950.
- 蒙碧辉, 刘 红, 梁 莹, 等. 1 型糖尿病树鼩骨骼肌病 [13] 变及其发病机制[J]. 中华糖尿病杂志, 2005, 13(4): 290-292.
- [14] Kiraz Y, Adan A, Yandim K M, et al. Major apoptotic mechanisms and genes involved in apoptosis [J]. Tumour Biol, 2016, 37(7): 8471-8486.
- 鲁翠芳,李世英. 论细胞色素 C、细胞凋亡诱导因子与细 [15] 胞凋亡的关系[J]. 求医问药 (下半月), 2013, 11(11):
- [16] 吴宗盛, 卢中秋, 姚咏明. 线粒体融合蛋白 2 与细胞凋亡 [J]. 医学研究杂志, 2012, 41(1): 12-16.
- [17] Zhou F F, Yang Y, Xing D. Bcl-2 and Bcl-xL play important roles in the crosstalk between autophagy and apoptosis [J]. FEBS J, 2011, 278(3): 403-413.